

東北大学工学部 正会員 岩崎敏夫
 東北大学大学院 学生員 長谷川順行
 東北大学大学院 学生員 松本康男

1.はじめに

著者らは乱れの移流や乱流構造の把握に、Hot-film流速計の2点計測が有効であることを示してきた。¹⁾今回、この計測を用い移動床付近の乱れの移流について特に検討をおこなったのでここに報告する。

2.実験方法及び実験条件

実験に使用した水路は、上流の長さ4mの幅の変化する導流水路とこれに続く幅40cm、長さ11mの実験水路とで構成されている。水路終端に可動底板が設けられており、これと上流の流入バルブの操作により、各種の実験条件の設定をおこなった。Fig. 1に使用水路の概要を示す。移動床として中央粒径0.36mm、均等係数1.50、比重2.67の砂を実験水路床に約9cmの厚さに敷いた。流速変動の測定にはTS1社製・コニカルプローブ型Hot-film流速計を使用した。実験条件をTable 1に示す。実験はCase 1として砂の移動のない平坦な河床、Case 2として砂の移動はあるが河床は平坦な状態、Case 3として河床波(波長13.2cm、波高1.4cm)が形成された状態を対象とした。解析はデータ総数2,000個、サンプリング間隔0.01秒、最大ラグ数100であった。

3.実験結果及び考察

実験水路での移動床の実験に先立ち、上流の導流水路の乱れ強さの流下方向についての分布を検討した。Table 2にその時の実験条件を示す。Fig. 3に水路の模式形状とそれに応じた乱れ強さの分布を示す。図中の(A)、(B)点はFig. 1の水路の(A)、(B)点に対応している。導流水路の出口付近で乱れ強さが一様化している。これより水の流入などによる上流の乱れの影響が小さいことを確認した。

流下方向の時空相關は、(1)式で定義される。

$$R_{uu}(r_x, 0, 0; \tau) = \frac{U(x_0, y_0, z_0; t) U(x_0 + r_x, y_0, z_0; t + \tau)}{U^2} \quad \dots \dots (1)$$

ここで r_x は x 方向のずらし距離、 τ はずらし時間である。各Caseの流下方向の計測より得られた時空相關をFig. 4からFig. 6に示す。Case 1では時空相關の減衰は小さく乱れの移流が良いことが分かる。Case 3では河床波の起伏の影響により、乱れの移流が妨げられているものと考えられる。時空相關の減衰を単純な指数型減衰関数で近似することは容易でないが、各Caseの河床状態と時空相關の減衰を比較するため(2)式を利用した。ピーグの発

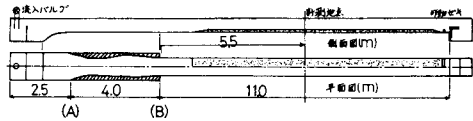


Fig. 1 使用水路

Table 1 実験条件

Case	H_0 (cm)	H (cm)	y_0 (cm)	y/H	Z_0 (cm)	Z_0/B	U_m (cm/s)	U_m^* (cm/s)	Fr	$Re \times 10^4$	$I \times 10^{-3}$
I	7.4	7.4	0.7	0.095	20.3	0.507	14.0	0.92	0.164	0.801	0.126
II	7.0	7.0	0.6	0.086	20.4	0.510	26.0	1.80	0.315	1.220	0.474
III	7.8	6.5	0.6	0.092	21.0	0.525	24.4	3.15	0.279	1.085	1.295

H_0 :平均水深 H :測定点の水深 y_0 ; 河床から測定地点までの距離 Z_0 ; 水路側壁から測定地点までの距離 U_m ; 断面平均流速 I ; 水面勾配 U_m^* ; 働標度 ($= \sqrt{gH_0 I}$)
 Fr ; Froude数 ($= U_m / \sqrt{gH_0}$) Re ; Reynolds数 ($= U_m H_0 / \nu$)

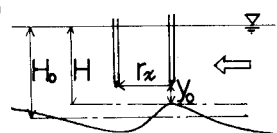


Fig. 2 実験方法

Table 2 実験条件

H (cm)	y_0 (cm)	y/H	U_m (cm/s)	U_m^* (cm/s)	Fr	$Re \times 10^4$	$I \times 10^{-3}$
18.5	7.0	0.378	11.0	2.96	0.082	1.431	0.483

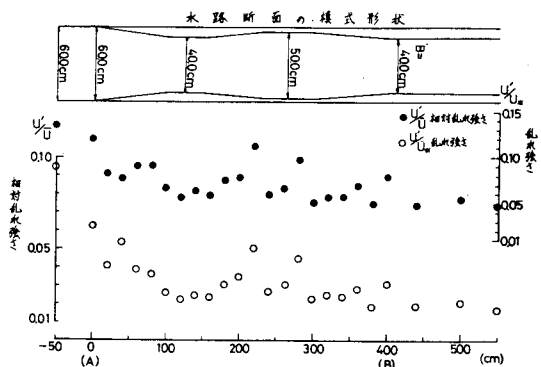


Fig. 3 導流水路の乱れ強さの分布

生時間とその時
の時空相関の値
を(2)式に適用し、
最小二乗法で減
衰係数(k)を求め
た。これをTable
3に示した。

Case 1, Case 2 Fig. 4 Case 1 の時空相関

、Case 3となるに連れて減衰係数が大きくなっているのが確認できる。河床が平坦でも砂の移動があると、砂の移動のない状態より減衰係数が大きいことが分かる。

$$R_{uu}(\tau) = \exp(-k \frac{U_c \tau}{H_0}) \quad \cdots \cdots (2)$$

ここで U_c は局所平均流速、 H_0 は平均水深である。

Fig. 7 は時空相関のピークの発生時間で τ を割って得られる乱れの移流速度 U_{ct} と平均流速 U_c との比を τ に対してもプロットしたものである。Case 2、Case 3の乱れの移流速度は平均流速より若干大きくなっている。Case 1ではその比がほぼ一様であるのに対して、Case 2、Case 3では比のはらつきが大きい。これは砂の移動や河床波の形成により乱れの構造が一様でなくなるためと考えられる。

Taylor の凍結乱流の仮定に乱れの流下方向の減衰を考慮すると位相速度 U_{cf} ²⁾として(3)式が得られる。 U_{cf} と平均流速の比をFig. 8 に示す。

$$U_{cf} = 2\pi f \frac{k_x}{\Phi} \quad \cdots \cdots (3)$$

ここで f は周波数、 Φ はPhaseである。Case 1では、どの周波数成分の乱れもほぼ平均流で移流されていることが分かる。Case 2、Case 3では低周波数成分の乱れの位相速度が大きくなっている。また高周波成分はCase 1、Case 2ではほぼ一定であるのに対してCase 3ではばらつきが大きくなっている。

4. おわりに

砂の移動のない平坦な河床では、乱れはほぼ平均流で移流されていることが分かった。河床波形成時では、河床の起伏の影響により乱れの移流が一様でなくなることが確認できた。また河床が平坦でも砂の移動のある時は、この現象が主に低周波数成分の乱れの移流に影響を与えるものと考えられる。

〈参考文献〉

- 1) 岩崎・半次・長浜川; “開水路移動床流れの乱れの時空相関特性”, 第35回(昭和55年)年講, pp.426~427
- 2) Hino, M.; "Theoretical argument on turbulent structure of gusty wind" Proc. J.S.C.E. No. 202 pp.115~118 (1972)

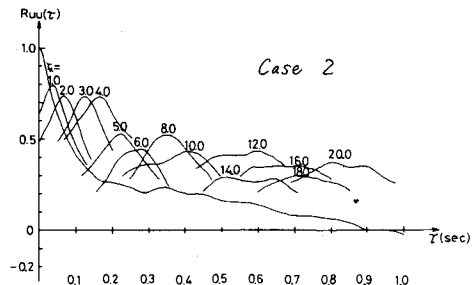
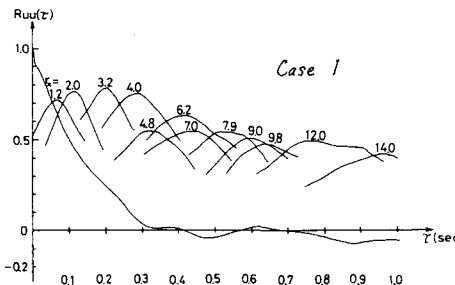


Fig. 5 Case 2 の時空相関

Table 3

Case	減衰係数(k)
I	0.851
II	0.898
III	0.971

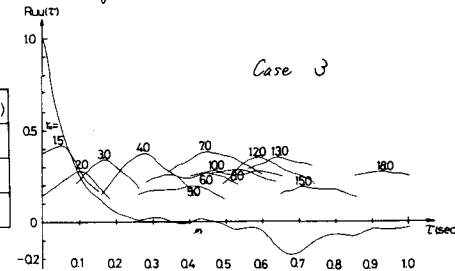


Fig. 6 Case 3 の時空相関

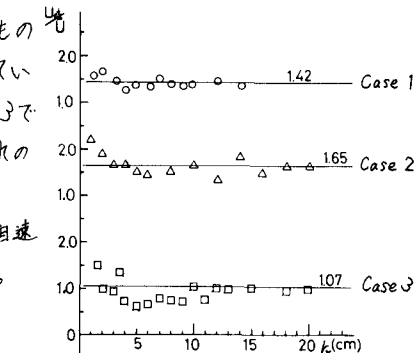


Fig. 7 移流速度と平均流速の比

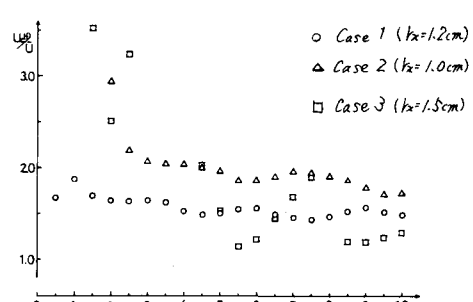


Fig. 8 位相速度と周波数の関係